

مدل سازی تحلیلی چرمگی شکست J_{IC} فولادهای مرتبه‌ای هدفمند آستنیتی-مارتنزیتی با لایه‌های توقف‌گر ترک

سید علی صدوق و نینی^{۱*}، میثم موری شیربانی^۲

۱- استاد، دانشکده مهندسی مکانیک، دانشگاه صنعتی امیرکبیر، تهران

۲- دانشجوی کارشناسی ارشد، دانشکده مهندسی مکانیک، دانشگاه صنعتی امیرکبیر، تهران

* تهران، صندوق پستی ۱۵۸۷۵۷۳۴۹۱ sadugh@aut.ac.ir

چکیده- در این مقاله، چرمگی شکست فولادهای مرتبه‌ای هدفمند آستنیتی-مارتنزیتی تولید شده با روش ذوب دوباره سرباره‌ای الکتریکی در حالت چیدمان توقف گر ترک لایه‌ها با روش‌های تجربی و تحلیلی بررسی شده است. نمونه‌ها شامل فاز آستنیت به همراه لایه مارتنزیت می‌باشد. مدول یانگ و ضریب پواسون نمونه‌ها ثابت فرض شده است در حالی که سایر خصوصیات مکانیکی مانند تنش تسیلیم و توان کار سختی در راستای ضخامت نمونه‌ها به صورت نمایی تغییر می‌کند. در بررسی تحلیلی، از روش اصلاح شده خطوط باربرداری برای محاسبه مقدار بحرانی انتگرال J در نمونه‌های ترک‌دار خمین سه نقطه‌ای استفاده شده است، در حالی که نمونه‌های استاندارد با طول ترک‌های مختلف از روش تجربی آزمایش شده‌اند. اثر اندازه طول ترک بر روی چرمگی شکست نیز مطالعه شده است. مشاهده شد که به هنگام نزدیک شدن نوک ترک به لایه مارتنزیت، چرمگی شکست نمونه به میزان قابل توجهی کاهش می‌یابد. نتایج بدست آمده از مدل ارائه شده در توافق مناسبی با نتایج تجربی می‌باشد.

کلیدواژگان: چرمگی شکست، فولادهای مرتبه‌ای هدفمند، حالت توقف گر ترک، ذوب دوباره سرباره‌ای الکتریکی، انتگرال J .

Analytical modeling of fracture toughness J_{IC} of austenitic-martensitic functionally graded steels with crack arrester layers

S. A. Sadough. Vanini^{1*}, M. Moori. shirbani²

1- Prof. of Mech. Eng., Amirkabir Univ., Tehran, Iran

2- MSc. Student. of Mech. Eng., Amirkabir Univ., Tehran, Iran

* P.O.B. 1587573491 Tehran, Iran. sadugh@aut.ac.ir

Abstract- In this article, fracture toughness of austenitic-martensitic functionally graded steels fabricated by electroslag remelting with crack arrester layers is investigated by experimental and analytical methods. The material contains austenite phase in addition to martensite layer. The Young's modulus and the Poisson's ratio have been assumed to be constant, while other mechanical properties like the yield strength and the strain hardening exponent vary exponentially along the specimen thickness. In analytical case, improved method of unloading lines is modified to calculate the critical value of J -integral for cracked three point bend specimens while standard specimens with different crack lengths are tested in experiments. The effect of crack length on the fracture toughness has been studied. It is observed that, as the crack tip goes toward a martensite layer, fracture toughness of the specimen decreases considerably. The obtained results from the proposed model are in good agreement with the experimental results.

Keywords: Fracture Toughness, Functionally Graded Steels, Crack Arrester Arrangement, Electroslag, Remelting, J -Integral.

۱- مقدمه

پدیده شکست در اجسام یکی از عمده‌ترین مسائلی است که انسان از زمان ساختن ساده‌ترین ابزارها با آن مواجه است. متلاشی شدن بسیاری از کشتی‌ها، هوایپیماها و فضایپیماها در طی دهه‌های گذشته، لزوم درک دقیق‌تری از مکانیک شکست در اجسام را در علوم جدید ایجاد می‌کند. در واقع، گسیختگی ناگهانی بسیاری از تجهیزات و سازه‌های صنعتی، نه تنها عاقب جانی ناگواری را در بردارد، بلکه ضررهای چشم‌گیر اقتصادی را نیز فراهم می‌آورد.

علت عمده شکست در اکثر سازه‌ها، نادیده گرفتن برخی عوامل طراحی نظیر عدم رعایت استانداردها و خطاهای در محاسبات، بی‌دقیقی در ساخت و مونتاژ، استفاده از مواد غیر استاندارد و عدم بازرسی از وضعیت سازه می‌باشد. دلیل دیگر، استفاده از مواد جدید و روش‌های طراحی نو که منجر به پیامدهای غیرمنتظره می‌شود. استفاده از مواد جدید (که ممکن است از استحکام بالاتر و وزن کمتری برخوردار باشد) بدون انجام آزمایش‌های مکانیکی نظیر کشش، فشار، خزش و خستگی، در شرایط مختلف کاری، منجر به رفتارهای پیش‌بینی نشده می‌گردد. از این رو، بررسی رفتار مکانیکی مواد جدید در شرایط مختلف بارگذاری از اهمیت بالایی برخوردار می‌باشد.

مواد پیشرفت، یک نقش اساسی در تکنولوژی‌های نوین به ویژه در عرصه زیست‌شناختی و هوافضا، بازی می‌کنند و توجه جوامع علمی و صنعتی را در چندین شاخه علمی به خود جلب نموده‌اند. کار در زمینه مواد پیشرفت، روی فراوری انواع مختلف آلیاژها، سرامیک‌ها، مواد مرکب و پوشش‌ها متمرکز شده است. مواد مرکب متدالوی به طور کلی از یک ماهیت تکه‌ای و گسسته با سطوح مشترک تیز برخوردار هستند. دلیل این امر، از گذار ناگهانی در خواص فیزیکی، مکانیکی و حرارتی آن‌ها نتیجه می‌شود. اغلب، این سطوح مشترک دربرگیرنده نواقص (حاصل از پیوند ناقص یا تنش‌های باقیمانده) می‌باشد. حتی، در غیر مشترک، عدم تطابق خواص در سراسر سطوح مشترک، منجر به تمرکز تنش و در نتیجه یک مکان مستعد برای ترک خوردن، گسست پیوند و پارگی در حین سیکل‌های عملیاتی معمولی می‌شود. برای بهبود استحکام پیوند در دو طرف سطوح مشترک و اتخاذ مزیت کامل‌تر از تکنولوژی مواد مرکب، یک راه حل ممکن، مواد مرتبه‌ای^۱ هدفمند می‌باشد.

1. Functionally Graded Steels (FGMs)

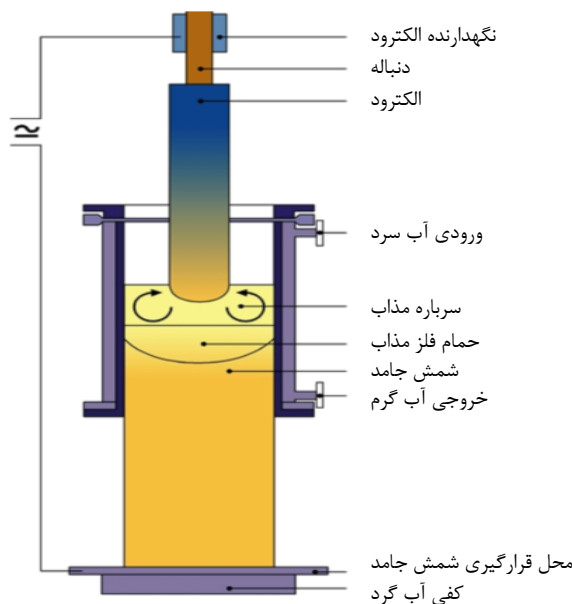
مواد مرتبه‌ای هدفمند، امکان پیوستگی سه بعدی میکرو ساختار و ترکیب را فراهم می‌کند؛ به طوری که بیشترین مزایای ممکن از غیر یکنواختی آنها می‌تواند به دست آید. پیوستگی کنترل شده در ترکیب، به طور قابل توجهی شدت تنش‌های حرارتی را کاهش می‌دهد؛ مانع از جریان پلاستیک و ترک می‌شود و پیوند سطح مشترک را بهبود می‌بخشد. این موارد، تحت شرایطی محقق می‌شود که میکرو ساختار مرتبه‌ای، در حین سیکل عملیاتی از لحاظ حرارتی پایدار باشد [۱]. مزیت ممتاز در تکنولوژی مواد مرتبه‌ای هدفمند، توانایی مقاومت در برابر گردایان شدید حرارتی است؛ به طوری که همزمان نگهدارنده یکپارچگی ساختاری نیز می‌باشد. این موضوع، مهم‌ترین استدلال برای انتخاب مواد مرتبه‌ای هدفمند در کاربردهای ساختاری بحرانی هوافضا (سفینه‌های فضایی پیشرفته، پیوسته‌های گرمایی راکتها، پوشش گرمایی محافظ)، دستگاه‌های تولید قدرت (پوشش گرمایی محافظ، مبدل‌های حرارتی، راکتورهای هسته‌ای)، نظامی، میکرو الکترونیک، بیوپزشکی و ساخت و تولید می‌باشد. به طور کلی، مواد مرتبه‌ای هدفمند، مواد مرکب غیر همگنی هستند که از ترکیب چند ماده مختلف تشکیل شده و ترکیب یا درصد حجمی اجزای تشکیل دهنده آن به طور پیوسته و تابع موقعیت در امتداد یک یا دو بعد خاص متغیر است. در نتیجه، خواص و ساختار آنها به طور پیوسته در امتداد همان ابعاد تغییر خواهد کرد.

آغازده و شاه حسینی [۲] با استفاده از روش ذوب دوباره سریارهای الکتریکی^۲، فولادهای مرتبه‌ای هدفمند تولید کردند که انجام استحاله‌های متالورژیکی در آنها، سبب ایجاد فازهای جدیدی می‌شود. این مواد، علاوه بر داشتن خواص مکانیکی متفاوتی نسبت به اجزای سازنده اولیه، باعث تغییر تدریجی خواص در مواد اولیه نیز می‌شود. شب موجود در این گونه مواد مرکب از نوع ترکیب شیمیایی بوده که موجب تغییر در ریز ساختار می‌شود و به جای داشتن یک ترکیب مشخص در فصل مشترک، یک تغییر شب می‌آهسته از یک جز به جز دیگر وجود خواهد داشت. در طی فرایند ذوب، فازهای مختلفی در حین فرایند نفوذ ایجاد می‌شود. هنگام نفوذ عنصر آلیاژی، نواحی مختلفی با مشخصات انتقالی متفاوت ایجاد می‌شود و بنابراین، می‌توان شاهد ترکیباتی متفاوت از فازهای

تدریجی در مکانیزم سفت شدن در اثر افزایش طول ترک می‌شود، بنابراین اثر افزایش طول ترک اولیه در نتایج چرمگی شکست نیز، بررسی شده است.

۲- فرایند ذوب دوباره سرباره‌ای الکتریکی

روش ذوب دوباره سرباره‌ای الکتریکی که به طور شماتیک در شکل ۱ نشان داده شده است، روشی برای تصفیه فلزات است. اصول روش ذوب دوباره سرباره‌ای، توسط هاپکینس [۴] در سال ۱۹۳۵ و در مؤسسه ام دبليو كالج، پایه‌گذاری شد. این روش، بیش از ۳۰ سال به طور مستمر مخصوصاً برای تولید مواد خاص در طی جنگ جهانی دوم مورد استفاده قرار گرفت. در این روش، از یک سرباره مذاب که به صورت الکتریکی گرم می‌شود (به واسطه مقاومت نه قوس)، برای تولید حرارت لازم برای ذوب استفاده می‌شود. فلز مورد نظر، به صورت یک الکترود تهیه می‌شود که می‌تواند محصول هر فرایند تولید فلز باشد. الکترود از قسمت انتهایی در حمام سرباره درون یک قالب آب گرد^۷ غوطه‌ور می‌شود. حرارت لازم به وسیله یک جریان الکتریکی بین الکترود و پایه هادی (که قالب روی آن قرار می‌گیرد) تولید می‌شود. حمام سرباره^۸ به عنوان جزء مقاومتی مدار عمل می‌کند.



شکل ۱ اجزای مختلف دستگاه ذوب سرباره‌ای الکتریکی

7. Water Jacket
8. Slag Bath

اولیه مانند فریت^۱، آستنیت^۲، مارتزیت^۳ و باینیت^۴ بود. فولادهای مرتبه‌ای هدفمند به عنوان مواد مرتبه‌ای هدفمند با گرادیان استحکام ساخته می‌شود.

ازیابی مکانیک شکست، یک بینش فیزیکی عمیق‌تر در زمینه شروع ترک و انتشار آن در مواد مرتبه‌ای هدفمند فراهم می‌کند که می‌تواند در طراحی، بهینه‌سازی و کاربرد این مواد جدید، کمک کند. ثابت شده است که انتگرال J یک ابزار قوی و سودمند به عنوان پارامتر شکست الاستیک-پلاستیک برای توصیف میدان الاستیک و پلاستیک محلی در همسایگی ناحیه تمرکز تنفس و بررسی شروع ترک و گسترش آن قبل استفاده می‌باشد. در مقاله حاضر، چرمگی شکست فولادهای مرتبه‌ای هدفمند ساخته شده به روش ذوب دوباره سرباره‌ای الکتریکی، آزمایش و مدل سازی شده است. برای این منظور، شمش‌های فولادی ساده کربنی و زنگ نزن آستنیتی برش خورده و به یکدیگر جوش داده شده و فولادهای مرتبه‌ای هدفمند با فازهای مارتزیت M_7 تولید شد. پس از نورد گرم نمونه‌های ذوب شده و واپرکات^۵ آنها، نمونه‌های خمث سه نقطه‌ای با بعد استاندارد جهت آزمون چرمگی شکست تهیه و تحت آزمون شکست قرار گرفتند و با بدست آوردن نمودار نیرو بر حسب تغییر مکان نقطه زیر نیرو^۶ و استفاده از استاندارد ASTM E1820 [۳]، چرمگی شکست بدست آمده است.

آزمایش سختی سنجی، برای بدست آوردن تغییرات ریز سختی بر روی نمونه‌ها، انجام شد. از نمونه‌های تولید شده و همچنین فازهای اولیه، نمونه‌هایی استاندارد برای بدست آوردن نمودار تنفس-کرنش آنها ساخته و آزمون کشش هم روی آنها انجام شد و از نتایج آن در مدل ارائه شده، استفاده شده است.

از آنجا که در این فولادهای مدول الاستیک در کل نمونه ثابت است، هدف ارائه مدلی برای پیش‌بینی انتگرال J و چرمگی شکست J_{IC} آنها در حالت توقف‌گر ترک بر پایه تغییرات تنفس تسلیم و توان کار سختی آنها است. در این مدل، از روابط حل نیرو محدود، و هندسه انتخابی (نمونه خمث سه نقطه‌ای) برای مدل‌سازی J و J_{IC} استفاده شده است. تغییر در ترکیب و ریز ساختار یک فولاد مرتبه‌ای هدفمند، سبب تغییر

1. Ferrite
2. Austenite
3. Martensite
4. Bainite
5. Wire Cut
6. Point Load Displacement

۱-۳- ساخت الکترودهای اولیه

مواد اولیه برای ایجاد الکترودهای اولیه، از جنس فولاد ساده کربنی^۲ AISI 1011 و ضد زنگ آستنیتی^۳ AISI 316L، به صورت میل‌گردۀای با قطر ۴۵ میلی‌متر تهیه شد. ترکیب شیمیایی مواد اولیه در جدول ۱ ارائه شده است.

سپس، الکترود اولیه به یک به انتهای دنباله (میل‌گردی با ارتفاع حدود ۲ متر که به یک سر منبع تغذیه متصل است که در شکل ۲ نشان داده شده است)، جوش داده شد که هنگام ذوب به صورت عمودی درون قالب ذوب قرار می‌گیرد. الکترودهای اولیه، با عملیات برش، از این میل‌گردۀا به دست آمد که با چیدمان سه قطعه‌ای به صورتی که دو تکه آستنیتی در بالا و پایین و یک تکه فریتی در وسط قرار داده شده و توسط جوش دی‌اسکید کربن^۴ به هم جوش داده شدند (۷۰٪۳۰٪). الکترود شامل دو تکه آستنیتی با طول ۱۲۰ میلی‌متر و یک تکه فریتی با طول ۵۰ میلی‌متر در وسط آماده شد (شکل ۲).

جدول ۱ ترکیب شیمیایی فولادهای ساده کربنی (α_0) و ضد زنگ آستنیتی (%)

Mo	Ni	Cr	Mn	Si	C	
۰/۰۲	۰/۰۷	۰/۱۲	۰/۶۳	۰/۱۹	۰/۱۱	α_0
۱/۸۹	۹/۵۸	۱۶/۷	۱/۵	۰/۵۳	۰/۰۱	γ_0



شکل ۲ الکترود جوش داده شده به دنباله جهت عملیات ذوب سرباره‌ای

۲-۳- انجام ذوب دوباره سرباره‌ای روی الکترودهای اولیه

دستگاه ذوب دوباره سرباره‌ای از بخش‌های مختلفی تشکیل

2. Plain Carbon Steel

3. Stainless Steel

4. CO₂

هنگامی که درجه حرارت سرباره به بالای درجه حرارت ذوب فلز رسید، نوک الکترود ذوب شده و یک لایه نازک از فلز مذاب به صورت قطره درمی‌آید. قطره مذاب قبل از عبور از سرباره و جمع شدن در کف قالب، در تماس با سرباره تصفیه می‌شود [۵].

در طول مدت انجام ذوب، دیواره قالب با یک سیستم سردکننده خنک می‌شود. اگر عملیات سرد کردن^۱ (که به اندازه عملیات ذوب حائز اهمیت است) به میزان لازم طول نکشد، منجر به انجماد سریع در دیواره‌ها و کف قالب خواهد شد. اگر سرعت ذوب و انجماد به دقت کنترل شود، شرایط به گونه‌ای پایدار خواهد شد که ساختار شمش خیلی نزدیک به آن چیزی خواهد شد که مدت‌ها آرزوی متالورژیست‌ها بوده است. به عبارت دیگر، خواصی به دست خواهد آمد که بسیار برتر از خواص حاصل از سایر روش‌های مرسوم در تولید فلزات خواهد بود. به ویژه، اهمیت این روش، در قابلیت تولید مجدد و عدم وجود عیوب در محصولات می‌باشد. همچنین، این روش نسبت به روش‌های دیگر که با قوس انجام می‌شود، توان بیشتری را به صورت توان مفید برای ذوب استفاده می‌کند.

علی‌رغم به ظاهر ساده بودن این روش، تکنولوژی‌های بسیار پیشرفته‌ای از آن برای تولید قطعات هوافضا، زیردریایی‌ها، تجهیزات اتمی و مقاصد نظامی به کار گرفته شده است. امروزه، روش‌های متعددی از روش اولیه همچون تصفیه قوس در خلاء، جوشکاری سرباره‌ای، ریخته‌گری سرباره‌ای، ریخته‌گری گرم سرباره‌ای، پالایش ناحیه مرکزی و ذوب سرباره‌ای منتج شده است [۵].

۳- تولید فولادهای مرتبه‌ای هدفمند

با توجه به این که در این مقاله برای آزمایش و مدل‌سازی چرمگی شکست فولادهای مرتبه‌ای هدفمند، فولاد مرتبه‌ای هدفمند آستنیتی-مارتنزیتی (M₇) انتخاب شده است، در این قسمت، مراحل تولید فولادهای مرتبه‌ای هدفمند M₇، شامل فازهای آستیت و مارتنزیت و سایر عملیات صورت گرفته برای تولید نمونه‌های خمث سه نقطه‌ای برای آزمون چرمگی شکست، ارائه شده است.

1. Freezing

در شروع عملیات ذوب، درون استارتر را با براده آهن قراشه پر می‌کنند. سپس، مقداری سرباره درون و اطراف استارتر اضافه می‌شود. با وصل کردن جریان از منبع تغذیه، استارتر و محظیات درون آن، ذوب شده و حفره روی کفی را پر می‌کند. از آن لحظه به بعد، ادامه سرباره روی استارتر قرار می‌گیرد که این امر موجب افزایش مقاومت الکتریکی سرباره در ادامه پروسه ذوب می‌شود. سرباره مورد استفاده، شامل مخلوط 50% CaF_2 و 50% Al_2O_3 با مجموع ۱۰۰۰ گرم وزن بود. همچنین، توان ورودی به دستگاه در طی فرایند ذوب، ثابت و حدود ۱۲/۳ کیلووات می‌باشد.

شمش‌های حاصل از ذوب دارای ارتفاعی در حدود ۱۴۰ میلی‌متر بودند و پس از سرد شدن در دمای محیط، با عملیات برش از کفی قالب جدا شدند. سپس، شمش‌ها برای پرس گرم به دانشگاه مالک اشتراحت تحویل داده شد و ارتفاع تحت عملیات پرس گرم هیدرولیکی در دمای حدود ۱۰۵۰ درجه سانتی‌گراد، به حدود ۲۴ میلی‌متر کاهش داده شد. پس از آن، با عملیات سنگ‌زنی^۳ در کارگاه ماشین ابزار دانشکده مکانیک دانشگاه امیر کبیر، ارتفاع شمش‌ها به ۲۱ میلی‌متر رسید. در نهایت با برش قسمت‌های زائد توسط اره لنگ، شمش به صورت مکعب در آمد.

۳-۳- مطالوگرافی نمونه‌ها

اگر یک لایه فولاد فریتی بین دو لایه آستنیت در الکترود قرار گیرد، پس از ذوب، یک فاز مارتزبیتی درون لایه فریتی اولیه تشکیل می‌شود. مطالعات ریز ساختاری و ریز سختی سنجه نشان می‌دهد ناحیه کوچکی از فریت در همسایگی فاز آستنیت به هنگام کاهش کربن به آستنیت تغییر فاز می‌دهد.

$$(\gamma_o \alpha_o \gamma_o) \xrightarrow{\text{ذوب}} (\gamma M \gamma)$$

با آنالیز شیمیایی شمش نهایی، ترکیب شیمیایی لایه مارتنزیتی به دست آمده و در جدول ۲ ارائه شده است.

جدول ۲ ترکیب شیمیایی لایه مارتزیتی در شمش مرتبه‌ای هدفمند

- 2. Hot Pressing Process
 - 3. Grinding Process
 - 4. Metallurgy

۱۱ شماره ۱۳، دوره ۱۳، پیمن ۱۳۹۲ مکانیک هندسی

شده است که در ادامه شرح داده شده است. بدنه مکانیکی دستگاه که وظیفه نگهداری محفظه ذوب الکترود را بر عهده دارد. سیستم بالابر و پایین بر الکترود که از قسمت های مختلف وزنی تعادل الکترود، چرخ دنده خورشیدی به همراه زنجیر انتقال دهنده نیرو، الکتروموتور با دور متغیر و همچنین کلاچ تبدیل دستی به الکتریکی موتور، تشکیل شده است. محفظه ذوب، شامل یک قالب مسی با سطح مقطع 70×70 میلی متر مربع (شکل ۳-الف) و یک کفی فولادی که قالب روی آن قرار می گیرد (شکل ۳-ب)، می باشد. درون کفی، سیستم جریان آب طراحی شده است؛ به طوری که، از یک طرف جریان آب شهر وارد و از طرف دیگر خارج می شود. سیستم آب گرد محفظه، شامل لوله های مسی است که محفظه ذوب در وسط آن قرار دارد. ورودی این سیستم از طریق شیلنگ باریکی به جریان آب شهر متصل است و خروجی آن، لوله ای به قطر ۸ سانتی متر بوده که دبی خروجی آن توسط یک شیر فلکه (که در سر راه واقع شده است)، تنظیم می شود. قالب، روی یک کفی فولادی قرار می گیرد. همان طور که از شکل ۳-ب، مشخص است، این کفی (که به سر دیگر منبع تغذیه متصل می باشد)، دارای یک حفره دایره ای شکل (در مرکز) با قطر حدود ۴۰ میلی متر است. درون این حفره، توپی مسی یا گرافیتی قرار می دهد که در معرض قوس اولیه واقع می شود. این توپی (که استارتتر^۱ نامیده می شود) نقش شروع کننده عملیات ذوب را دارد. استارتتر، به شکل یک استوانه توخالی با قطر مقطع ۴۰ میلی متر و ارتفاع ۶۰ میلی متر است که روی حفره کفی، جوش داده می شود. پس از هموار نمودن سطح پلیت از ضایعات (حاصل از ذوب های قبلی)، کفی با پیچ و مهره به یک ریل افقی اتصال داده می شود.



شكل ۳ ساختمان محفظه ذوب الف- قالب مسی آب گرد ب- کفی فولادی به همراه استارتر

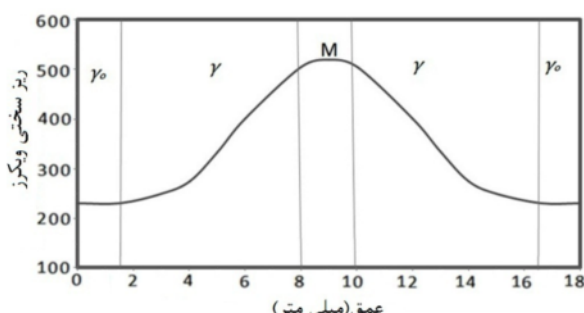
- ## 1. Starter

پس از آن قطر لبه مربع شکل فرورفتگی به دقت اندازه‌گیری و طبق روش آزمون ویکرز، سختی محاسبه می‌شود. دقت متعارف اندازه‌گیری با میکروسکوپ در حدود ۱/۰۰۰ میلی‌متر است. میزان سختی ویکرز ۱۸ نقطه در امتداد عرض لبه‌های آستنیتی و مارتزیتی نمونه‌ها مشاهده شد که لایه‌ای بودن ماده‌ی مرکب در جهت ضخامت نمونه‌ها را تأیید می‌کند (شکل ۵). مقدار سختی ویکرز برای آستنیت اولیه و لایه مارتزیتی به ترتیب ۲۳۱ و ۵۲۰ ویکرز محاسبه شد که در مدل سازی تحلیلی استفاده شده است.

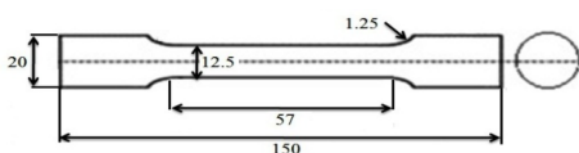
۳-۵- تعیین نمودار تنش- کرنش

برای مدل کردن فولادهای مرتبه‌ای هدفمند $M_7\gamma$ ، نمودار تنش- کرنش فازهای تشکیل دهنده آن (فولاد آستنیتی و لایه مارتزیتی)، لازم می‌باشد. به همین منظور، از نمونه‌های آستنیتی و همین طور فولاد مرتبه‌ای هدفمند $M_7\gamma$ ، مطابق استاندارد ASTM E23 [۶]، آزمایش کشش^۴ به عمل آمد. ابعاد استاندارد نمونه‌های کشش در شکل ۶ نمایش داده شده است. آزمون کشش تحت کششی با نرخ ۰/۱۵ میلی‌متر بر ثانیه انجام شد و بعد از آن نمودار تنش- کرنش مستقیماً ثبت شد. لازم به ذکر است که در مورد لایه مارتزیتی، با دانستن درصد عناصر و سختی ویکرز، نمودار تنش- کرنش استخراج شده است.

در شکل ۷، نمودار تنش- کرنش آستنیت اولیه، لایه مارتزیتی و فولادهای مرتبه‌ای هدفمند $M_7\gamma$ آورده شده است.



شکل ۵ تغییرات ریز سختی ویکرز در شمش پرس شده $M_7\gamma$



شکل ۶ ابعاد استاندارد نمونه کشش (میلی‌متر)

4. Tensile Test

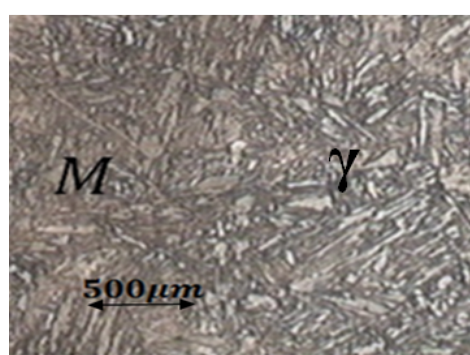
به منظور شناسایی فازها، با پولیش مقطع و حکاکی، فازها در مقطع مرتبه‌ای شمش نمایان شد که این مراحل به چهار مرحله مختلف طبقه‌بندی می‌شود:

- سایش نرم
- پرداخت خشن
- پرداخت نهایی
- اج^۱ کردن

عکس‌های گرفته شده با میکروسکوپ نوری از مقطع پولیش شده، نشان‌دهنده فازهای کاملاً مارتزیتی (شکل ۴) در ناحیه انتقال از فاز آستنیت به مارتزیت در میانه مقطع است.

۴-۴- ریز سختی سنجی^۲ نمونه‌ها

از متداول‌ترین سیستم ریز سختی سنجی، آزمون ریز سختی ویکرز^۳ است. اصول روش آزمایش ریز سختی ویکرز مانند آزمون ویکرز استاندارد است، با این تفاوت که به جای نیروی فرورونده چند کیلوگرمی، نیروها در حد گرم هستند. این آزمون روی میکروسکوپ‌های متالورژیکی، که برای این کار طراحی شده‌اند، انجام می‌شوند. جسم فرو رونده، هرم الماسی کوچک روی صفحه یک عدسی شیئی مخصوص جاسازی شده است. سطح نمونه آزمایش، پرداخت و بسیار براق شده و برای مطالعات میکرو گرافی همانند متالوگرافی، اج می‌شوند. مشاهده قطعه از زیر میکروسکوپ با درشت نمایی ۲۰۰ تا ۲۰۰۰ امکان متمرکز کردن عدسی روی دانه‌های مجزای ماده و فروکردن هرم الماسی با نیروی کم، در آن نقطه را فراهم می‌سازد. نیروی مورد استفاده معمولاً بین ۱ تا ۱۰۰ گرم می‌باشد و در این پروژه، نیروی معادل ۱۰۰ گرم استفاده شده است.



شکل ۴ میکرو ساختار لایه مارتزیتی

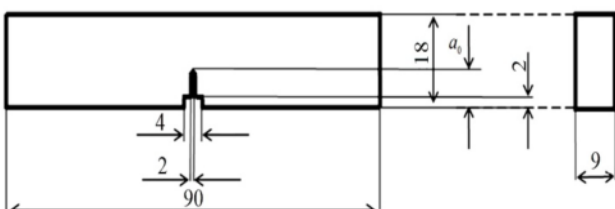
1. Etching
2. Micro Hardness
3. Vickers

ادامه پیدا می‌کند. سپس نمودار نیرو-تغییر مکان نقطه اثر نیرو رسم می‌شود و با روابط ارایه شده در بخش ۳-۴-۲ $J-\Delta a$ به نمودار $J-\Delta a$ تبدیل می‌شود. بعد از رسم نمودار $J-\Delta a$ ، دو خط با شیب مشابه از نقاط $1/15$ و $1/5$ میلی‌متر محور افقی تغییر طول روی نمودار رسم می‌شود. حتی اگر یک نقطه از نمودار بین این دو خط واقع شده باشد، آزمایش درست انجام شده است. در این صورت خطی با شیب مشابه با دو خط قبلی و از نقطه $1/2$ میلی‌متر محور تغییر طول رسم می‌شود و محل برخورد آن نمودار، آن نمونه را مشخص می‌کند.

۴-۱- دستگاه آزمایش چرمگی شکست

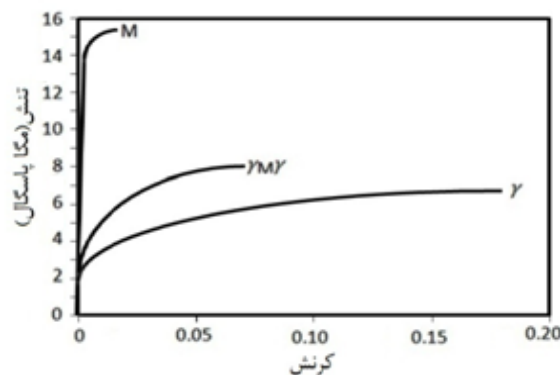
دستگاهی که برای انجام آزمایش چرمگی شکست مورد استفاده قرار گرفت، دستگاه هیدرولیک می‌باشد. این دستگاه دارای ظرفیت 40 تن بوده و در دو وضعیت بار و تغییر مکان مورد استفاده قرار می‌گیرد.

۴-۲- آماده سازی نمونه‌های آزمایش چرمگی شکست
برای تعیین J_{IC} از نمونه‌های خمش سه نقطه‌ای با ابعاد نشان داده شده در شکل ۸ مطابق استاندارد ASTM E1820 [۳] استفاده شد. بعد از تعیین ابعاد نمونه‌ها، با استفاده از دستگاه واپرکات، شیاری با ابعاد نشان داده شده در شکل ۸ در جهت موازی با لایه‌ها (حالت توقف‌گر ترک) ایجاد شد. ابتدا نمونه‌های استاندارد $9 \times 18 \times 90$ میلی‌متر تهیه شد و سپس شیارهایی با طول مختلف توسط واپرکات در نمونه‌ها ایجاد شد. پس از تهیه نمونه‌های شیاردار، مطابق استاندارد ASTM E1820 [۳] برای اندازه‌گیری چرمگی شکست، ترک اولیه خستگی به طول 2 میلی‌متر در نمونه‌ها ایجاد شد. در شکل ۹ یک نمونه تولید شده خمش سه نقطه‌ای نشان داده شده است.



شکل ۸ ابعاد نمونه‌های خمش سه نقطه‌ای استفاده شده در آزمایش چرمگی شکست (بر حسب میلی‌متر)

2. Initial Fatigue Crack



شکل ۷ نمودار تنش- کرنش آستینیت، لایه مارتینزیت و فولادهای مرتبه‌ای هدفمند $\gamma M\gamma$

تنش نهایی^۱ فاز آستینیت و لایه مارتینزیت به ترتیب 667 و 1540 مگا پاسکال به ثبت رسیده است.

۴- آزمایش چرمگی شکست

برای تعیین شرایط قطعه‌ای که هم تغییر شکل الاستیک و هم تغییر شکل پلاستیک دارد، پارامتری کلیدی ارایه شده است [۷]. با به کار بردن انتگرال خطی مربوط به انرژی در مجاورت ترک، رایس توانست مسئله‌های مربوط به ترک دو بعدی را در حضور تغییر شکل پلاستیک حل کند. فرم این انتگرال خطی، انتگرال J در معادله (۱) آمده است که در آن، شکست (شروع ترک) وقتی رخ می‌دهد که انتگرال J به مقدار بحرانی خود برسد.

$$J = \int_{\Gamma} \left(W dy - T_i \frac{\partial u_i}{\partial x} ds \right) \quad (1)$$

وقتی J به مقدار بحرانی خود، J_{IC} ، برسد، رشد ترک شروع می‌شود. به عبارتی J_{IC} چرمگی شکست در شروع رشد ترک است. از آنجا که بدست آوردن K_{IC} نیاز به نمونه‌هایی با ابعاد بسیار بزرگ دارد، می‌توان از آزمون J_{IC} با ابعاد بسیار کوچک تر استفاده نمود. در این مقاله نیز از همین آزمون مطابق استاندارد ASTM E1820 [۳]، برای اندازه‌گیری چرمگی شکست استفاده شد. برای تعیین J_{IC} از روش تک نمونه‌ای استفاده شد. در این روش یک نمونه تهیه شده و تا حد مشخصی بارگذاری می‌شود. پس از زمانی (از 10 ثانیه تا یک دقیقه) نمونه باربرداری می‌شود (معمولًاً کمتر از 50 درصد بار اعمالی و در زمانی بین 10 ثانیه تا یک دقیقه) و این کار تا شکست نمونه

1. Ultimate Stress

$$C_i(a/w) = \frac{(1-\nu^2)^2}{BE} \left(\frac{S}{w} \right)^3 [0.25 + 0.6 \left(\frac{w}{S} \right)^2 (1+\nu)] \\ + 1.5 \left(\frac{S}{w} \right)^2 \left(\frac{a/w}{1-a/w} \right)^2 [5.58 - 19.57 \left(\frac{a}{w} \right) \\ + 36.82 \left(\frac{a}{w} \right)^2 - 34.94 \left(\frac{a}{w} \right)^3 + 12.77 \left(\frac{a}{w} \right)^4] \quad (3)$$

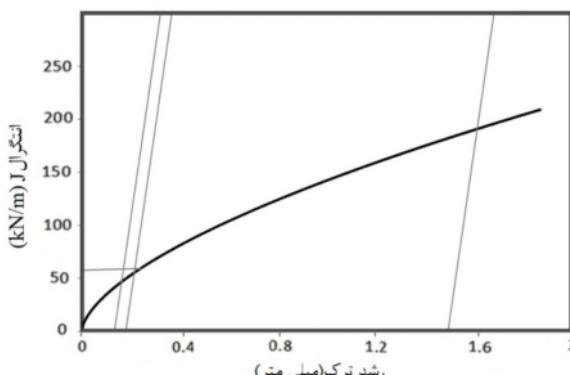
ارزیابی انتگرال J از منحنی نیرو در مقابل تغییر مکان نقطه اثر نیرو، از طریق استفاده از سطح زیر نمودار نیرو- تغییر مکان، انجام می‌شود. برای نمونه‌های خم شده نقطه‌ای انتگرال J از رابطه (۴) بدست می‌آید [۳].

$$J = \frac{2A}{Bb} \quad (4)$$

که در آن A سطح زیر نمودار نیرو بر حسب تغییر مکان نقطه اثر نیرو، B ضخامت نمونه آزمایش و b وتر اولیه بدون ترک یا $(w-a)$ می‌باشد. در نهایت با دانستن مقدار هر J و a در هر نیرو، نمودار نیرو- تغییر مکان به نمودار $J-\Delta a$ تبدیل شد و از روی آن J_{lc} برای نمونه‌ها به دست آورده شد. به عنوان نمونه، یکی از منحنی‌های $J-\Delta a$ برای نمونه‌ای با طول ترک اولیه $6/3$ میلی‌متر ($a/w=0.35$) در شکل ۱۱ رسم شده است. سایر نتایج در جدول ۳ آورده شده است.

۵- مدل‌سازی چرمگی شکست

هدف در این قسمت، ارائه مدلی برای پیش‌بینی انتگرال J و J_{lc} فولادهای مرتبه‌ای هدفمند در حالت توقف‌گر ترک بر پایه تغییرات تنش تسلیم و توان کار سختی آنها است.



شکل ۱۱ نمودار $J-\Delta a$ حاصل از آزمون چرمگی شکست برای نمونه $\gamma M\gamma$ با طول ترک اولیه $6/3$ میلی‌متر

جدول ۳ نتایج چرمگی شکست فولادهای مرتبه‌ای هدفمند $\gamma M\gamma$ در حالت توقف‌گر ترک

a/w	J_{lc} (kN/m)
0.055	0.5
0.10/9	1/8
0.15/5	2/1
0.20/45	28/3
0.25/4	56
0.30/35	J_{lc} (kN/m)



شکل ۹ نمونه ساخته شده برای اندازه‌گیری J_{lc}

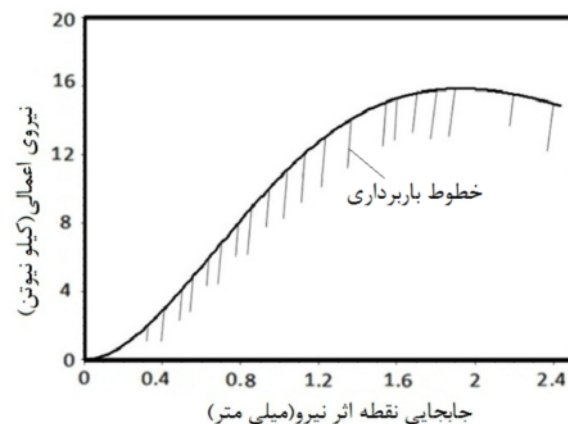
۴-۳- نتایج آزمایش چرمگی شکست

در این آزمایش، اعمال نیرو به صورت بارگذاری- باربرداری جزئی صورت گرفت. به این صورت که ابتدا نیروی اعمal نظر اعمال شده و پس از رسیدن به حداقل نیرو و نگهداری به مدت ۱۰ ثانیه تا یک دقیقه، باربرداری به میزان کمتر از ۵۰ درصد نیروی اعمالی انجام شد. داده‌های نیروی اعمال شده و تغییر مکان نقطه اثر نیرو از دستگاه استخراج شد و نمودار نیرو- تغییر مکان، برای نمونه‌ها با طول ترک اولیه مختلف، رسم شد که نمونه‌ای از آن برای طول ترک اولیه $6/3$ میلی‌متر ($a/w=0.35$) در شکل ۱۰ آورده شده است.

برای رسم نمودار $J-\Delta a$ و پس از آن بدست آوردن J_{lc} ، از روش ضرایب سازگاری^۱ استفاده شد [۳]. مقدار ضریب سازگاری در هر نقطه باربرداری، C ، برابر با عکس شب خط باربرداری است (رابطه (۲)).

$$C_i = \frac{V_{i,reload} - V_{i,unload}}{P_{i,reload} - P_{i,unload}} \quad (2)$$

مطابق استاندارد، ضریب سازگاری را می‌توان به طول ترک در هر مقدار نیرو و جابجایی مشخص، مربوط کرد [۳]:



شکل ۱۰ نمودار نیرو بر حسب تغییر مکان نقطه اثر نیرو برای نمونه‌ای $\gamma M\gamma$ با طول ترک اولیه $6/3$ میلی‌متر

1. Compliance Coefficients

۳-۵- مدل سازی تحلیلی چرمگی شکست

در این مدل، محاسبه انتگرال J و چرمگی شکست J_{IC} برای فولادهای مرتبه‌ای هدفمند و هندسه انتخابی (نمونه‌های خمس سه نقطه‌ای استاندارد) ارائه شده است. در این مدل با استفاده از رابطه بین نیروی اعمالی و تغییر مکان نقطه‌ای اثر نیرو، رابطه‌ای با انرژی پتانسیل حاصل تحت شرایط نیروی کنترل شده، برقرار شده و به کمک روابط ضریب سازگاری و دیگر روابط ارائه شده، انتگرال J بدست آمده است. در انتها هم با توجه به اینکه چرمگی شکست J_{IC} در $0.2 \text{ میلی متر رشد ترک}$ بدست می‌آید، مقدار چرمگی شکست نمونه‌ها در طول ترک‌های مختلف بدست آمده است. در نمونه‌های دارای گرادیان خواص مواد، مقدار انتگرال J به صورت رابطه (۷) نوشته می‌شود [۹].

$$J = -\frac{1}{B} \int_V [\sigma_{ij} \frac{\partial u_i}{\partial x_j} - W \delta_{ij} \frac{\partial q_i}{\partial x_j}] dV = -\frac{1}{B} \int_V \frac{\partial W}{\partial x_i} q_i dV \quad (7)$$

σ_{ij} و u_i به ترتیب چگالی انرژی کرنشی، تانسور تنش و بردار جابجایی در جسم می‌باشند. علاوه بر این، q_i یک تابع وزنی است که به گرادیان خواص مواد بستگی دارد. برای مواد مرتبه‌ای هدفمند با گرادیان مدول الاستیسیته E ، ضریب پواسون ν ، تنش تسلیم σ_Y و توان کار سختی n در جهت x_1 ، مشتق جزئی چگالی انرژی کرنشی در جهت x_1 را می‌توان به صورت رابطه (۸) نوشت.

$$\frac{\partial W}{\partial x_1} = \frac{\partial W}{\partial E} \frac{\partial E}{\partial x_1} + \frac{\partial W}{\partial \nu} \frac{\partial \nu}{\partial x_1} + \frac{\partial W}{\partial \sigma_Y} \frac{\partial \sigma_Y}{\partial x_1} + \frac{\partial W}{\partial n} \frac{\partial n}{\partial x_1} \quad (8)$$

اگر تابع تغییرات خواص مواد E ، ν و n موجود باشد، انتگرال J محاسبه خواهد شد. با توجه به اینکه در فولادهای مرتبه‌ای هدفمند مدول الاستیسیته و ضریب پواسون در کل نمونه ثابت است، گرادیان چگالی انرژی کرنشی به صورت رابطه (۹) نوشته می‌شود.

$$\frac{\partial W}{\partial x_1} = \frac{\partial W}{\partial \sigma_Y} \frac{\partial \sigma_Y}{\partial x_1} + \frac{\partial W}{\partial n} \frac{\partial n}{\partial x_1} \quad (9)$$

اگر محور مختصات در نوک ترک قرار داده شود، با توجه به اینکه رشد ترک در جهت x_1 رخ می‌دهد، محور x_1 (ضخامت نمونه‌های خمس سه نقطه‌ای)، محور a نام‌گذاری می‌شود. گرادیان σ_Y و n تابعی از a می‌باشد. مشتق جزئی انرژی پتانسیل، در شرایط نیروی کنترل شده در معادله (۵)، مشابه معادله (۹) نوشته شده و سپس انتگرال J در معادله (۱۰) بازنویسی می‌شود.

۱-۵- تعمیم انتگرال J

برای محاسبه اثر ناحیه پلاستیک، ابتدا باید یک حل الاستیک-پلاستیک برای میدان تنش نوک ترک انجام شود. یک روش برای حل این مسأله، انتگرال J می‌باشد. رایس [۷]، انتگرال J را برای مسائل ترک‌دار به کار برد. رایس نتیجه گرفت که در حالت کلی (الاستیک و پلاستیک)، مقدار J برابر با نرخ تغییرات انرژی پتانسیل نسبت به طول ترک می‌باشد (رابطه (۵)).

$$J = -\frac{1}{B} \frac{\partial U_p}{\partial a} \quad (5)$$

یکی از نتایج مهم تعمیم انتگرال J این است که از آن می‌توان برای مدل کردن رفتار پلاستیک مواد استفاده کرد. در این حالت به روابط نیرو- تغییر مکان برای تعیین J ضروری است. تغییر مکان در این رابطه باید در امتداد نیروی اعمالی باشد، که در نمونه‌های خمس سه نقطه‌ای، تغییر مکان نقطه اثر نیرو باید اندازه‌گیری شود. شایان ذکر است که برای مواد الاستوپلاستیک، کمیت U_p در معادله (۵) را نمی‌توان فقط به عنوان انرژی پتانسیل تفسیر کرد بلکه به عنوان کار الاستوپلاستیک مورد نیاز برای ایجاد تغییر شکل در عضو ترک‌دار قابل تفسیر می‌باشد. به هر حال، انتگرال J توانسته است به عنوان یک معیار شکست مناسب و ابزاری برای پیشگویی وقوع رشد ترک در رفتارهای غیرخطی و الاستوپلاستیک^۱ اجسام به کار رود.

۲-۵- تعیین نمودار تنش- کرنش نواحی مرتبه‌ای

برای بدست آوردن تنش تسلیم، توان کار سختی و نهایتاً نمودار تنش-کرنش نواحی مرتبه‌ای (از آستنیت اولیه تا لایه مارتنتزیت، $M \rightarrow \gamma_0$ ، و بالعکس، $\gamma_0 \rightarrow M$)، ابتدا فرض می‌شود که نمودار تنش-کرنش از رابطه رامبرگ و اسگاد [۸] پیروی می‌کند معادله (۶). این رابطه، برای فلزات که با تغییر شکل پلاستیک کار سختی می‌شوند، بسیار مناسب می‌باشد.

$$\varepsilon = \frac{\sigma}{E} + \alpha \frac{\sigma_Y}{E} \left(\frac{\sigma}{\sigma_Y} \right)^n \quad (6)$$

برای بدست آوردن تنش تسلیم، توان کار سختی و تنש نهایی نواحی مرتبه‌ای، فرض شد که تنش تسلیم در جهت ضخامت (۷) از آستنیت به مارتنتزیت و بالعکس، به صورت نمایی تغییر می‌کند.

1. Elastoplastic

$$h\left(\frac{a}{w}, n\right) = \sum_{m=1}^7 \sum_{l=1}^9 h_{ml}\left(\frac{a}{w}\right)^{m-1} n^{l-1} \quad (17)$$

در رابطه (۱۶) به صورت رابطه (۱۸) تعریف می‌شود.

$$P_L = \frac{1.455B(w-a)^2\sigma_Y}{s} \quad (18)$$

حال با قرار دادن روابط v_{el} و v_{pl} در معادله (۱۴) بخش الاستیک و پلاستیک انرژی پتانسیل بدست می‌آیند:

$$U_{el} = - \int_0^P v_{el} dP = - \int_0^P [C_{el}\left(\frac{a}{w}\right)] P dP = - \left[\frac{1}{2} C_{el}\left(\frac{a}{w}\right)\right] P^2 \quad (19)$$

$$U_{pl} = - \int_0^P v_{pl} dP = - \int_0^P \alpha \frac{\sigma_Y}{E} a [h\left(\frac{a}{w}, n\right) \left(\frac{P}{P_L}\right)^n] dP = - \alpha \frac{\sigma_Y}{E} a [h\left(\frac{a}{w}, n\right) \left(\frac{1}{P_L}\right)^n \left(\frac{P^{n+1}}{n+1}\right)] \quad (20)$$

طول ترک مؤثر، a_{eff} ، برابر با مجموع طول ترک واقعی، a ، و شعاع منطقه پلاستیک، r_Y تعریف می‌شود:

$$a_{eff} = a + r_Y \quad (21)$$

با در نظر گرفتن طول ترک مؤثر، به جای a در روابط از a_{eff} استفاده می‌شود که r_Y برای شرایط کرنش صفحه‌ای از رابطه (۲۲) بدست می‌آید [۱۰].

$$r_Y = \frac{1}{1 + \left(\frac{P}{P_L}\right)^2} \frac{1}{6\pi} \frac{n-1}{n+1} \left(\frac{K_I}{\sigma_Y}\right)^2 \quad (22)$$

که ضریب شدت تنش، برای نمونه‌های خمس سه نقطه‌ای تحت نیروی P از رابطه (۲۳) بدست می‌آید [۱۰].

$$K_I = \frac{P}{B\sqrt{w}} f\left(\frac{a}{w}\right) \quad (23)$$

$$f\left(\frac{a}{w}\right) = \frac{3\frac{s}{w}\left(\frac{a}{w}\right)^{0.5}}{2(1+2\frac{a}{w})(1-\frac{a}{w})^{1.5}} \{1.99 - \frac{a}{w}(1-\frac{a}{w}) \cdot [2.15 - 3.93(\frac{a}{w}) + 2.7(\frac{a}{w})^2]\} \quad (24)$$

بنابراین انرژی پتانسیل، از رابطه (۲۵) بدست می‌آید.

$$U = - \left[\frac{1}{2} C_{el}\left(\frac{a}{w}\right) P^2 - \alpha \frac{\sigma_Y}{E} [h\left(\frac{a}{w}, n\right) \left(\frac{1}{P_L}\right)^n \left(\frac{P^{n+1}}{n+1}\right)] \right. \\ \left. a + \frac{1}{1 + \left(\frac{P}{P_L}\right)^2} \frac{1}{6\pi} \frac{n-1}{n+1} \left(\frac{K_I}{\sigma_Y}\right)^2 \right] \quad (25)$$

با تعریف تابع جدید h_I رابطه (۲۵) به شکل رابطه (۲۷) ساده‌سازی می‌شود.

$$J = - \frac{1}{B} \left(\left(\frac{\partial U}{\partial a}\right)_P + \left(\frac{\partial U}{\partial \sigma_Y}\right)_P \frac{\partial \sigma_Y}{\partial a} + \left(\frac{\partial U}{\partial n}\right)_P \frac{\partial n}{\partial a} \right) \quad (10)$$

همان‌طور که از معادله (۱۰) مشخص است، رابطه عمومی مقدار انتگرال J در فولادهای مرتبه‌ای هدفمند از سه بخش مستقل تشکیل شده است. هر بخش به عنوان پارامتری جدید در محاسبه انتگرال J نسبت به رابطه مربوط به مواد همگن با روابط (۱۱)، (۱۲) و (۱۳) تعریف می‌شوند ($J_n = J_a + J_{\sigma_Y} + J_n$). (۱۱)، (۱۲) و (۱۳) تعریف می‌شوند (۱۳).

$$J_a = - \frac{1}{B} \left(\frac{\partial U}{\partial a} \right)_P \quad (11)$$

$$J_{\sigma_Y} = - \frac{1}{B} \left(\frac{\partial U}{\partial \sigma_Y} \right)_P \frac{\partial \sigma_Y}{\partial a} \quad (12)$$

$$J_n = - \frac{1}{B} \left(\frac{\partial U}{\partial n} \right)_P \frac{\partial n}{\partial a} \quad (13)$$

در روابط بالا، J_a ، J_{σ_Y} و J_n به ترتیب تأثیر اندازه طول ترک، تأثیر گردایان تنش تسیلیم و تأثیر گردایان توان کار سختی بر روی مقدار انتگرال J در فولادهای مرتبه‌ای هدفمند می‌باشند. واضح است که برای محاسبه انتگرال J ، باید هر سه قسمت آن به طور جداگانه محاسبه شوند.

با محاسبه انرژی پتانسیل مربوط به رشد ترک و قرار دادن در معادله (۱۰)، هر قسمت انتگرال J به طور جداگانه محاسبه می‌شود. اگر جسم تحت آزمایشی با اعمال نیروی کنترل شده باشد، انرژی پتانسیل برابر سطح زیر نمودار نیرو-تغییر مکان یا برابر کار نیروی خارجی وارد به آن جسم در نظر گرفته می‌شود [۹] (رابطه (۱۴)).

$$U = - \int_0^P v dP \quad (14)$$

برای نمونه‌های خمس سه نقطه‌ای، نیروی اعمالی، P و تغییر مکان نقطه اثر نیرو، v می‌باشد. میزان تغییر مکان نقطه اثر نیرو در یک جسم دارای رفتار الاستیک-پلاستیک، از دو بخش الاستیک، v_{el} و پلاستیک، v_{pl} ، تشکیل می‌شود. مطابق استاندارد ASTM E1820 [۳]، مقدار v_{el} از طریق ضرایب سازگاری الاستیک معادله (۳)، C_{el} ، بدست می‌آید.

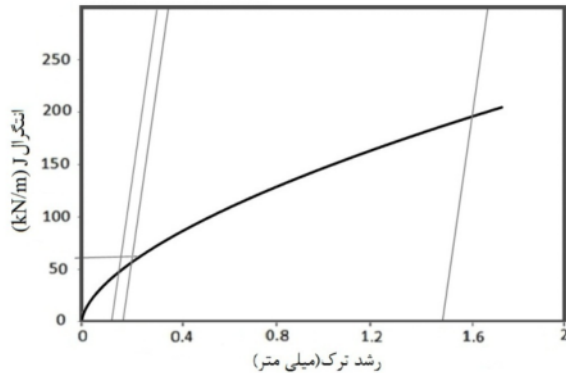
$$v_{el} = C_{el}(a/w)P \quad (15)$$

مقدار v_{pl} هم از رابطه (۱۶) بدست می‌آید [۱۰].

$$v_{pl} = \alpha \frac{\sigma_Y}{E} a \left[h\left(\frac{a}{w}, n\right) \left(\frac{P}{P_L}\right)^n \right] \quad (16)$$

تابع h یک چند جمله‌ای است که به صورت رابطه (۱۷) تعریف می‌شود [۱۰].

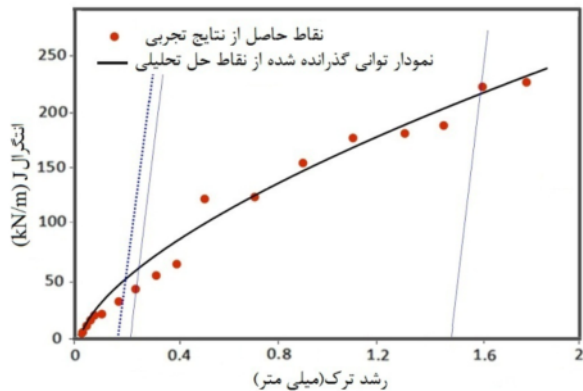
است، نتایج تجربی و مدل‌سازی تحلیلی چرمگی شکست در توافق مناسبی می‌باشند.



شکل ۱۲ نمودار $J - \Delta a$ حاصل از حل تحلیلی چرمگی شکست برای نمونه $\gamma M\gamma$ با طول ترک اولیه $6/3$ میلی‌متر

جدول ۴ نتایج حاصل از مدل سازی چرمگی شکست فولادهای مرتبه‌ای هدفمند $\gamma M\gamma$ در حالت توقف‌گر ترک

a/w	J_{lc} (kN/m)
$0/55$	$0/5$
$9/8$	$1/6$
$0/5$	$1/7$
$0/45$	$31/8$
$0/4$	$60/1$
$0/35$	J_{lc} (kN/m)



شکل ۱۳ مقایسه نمودار $J - \Delta a$ حاصل از آزمون تجربی و مدل‌سازی تحلیلی چرمگی شکست برای نمونه $\gamma M\gamma$ با طول ترک اولیه $6/3$ میلی‌متر

۶- نتیجه‌گیری

در این مقاله، مدلی تحلیلی برای پیش‌بینی انتگرال J و چرمگی شکست J_{lc} فولادهای مرتبه‌ای هدفمند $\gamma M\gamma$ در حالت توقف‌گر ترک بر پایه تغییرات تنش تسليم و توان کار سختی آنها، ارائه شده است. در این مدل با استفاده از رابطه بین نیروی اعمالی و تغییر مکان نقطه اثر نیرو، رابطه‌ای با انرژی پتانسیل حاصل تحت شرایط نیروی کنترل شده، برقرار

$$h_1\left(\frac{a}{w}, \sigma_Y, n\right) = -\alpha \frac{\sigma_Y}{E} h\left(\frac{a}{w}, n\right) \left(\frac{1}{P_L}\right)^n \left(\frac{1}{n+1}\right) \\ [a + \frac{1}{1+(\frac{P}{P_L})^2} \frac{1}{6\pi} \frac{n-1}{n+1} (\frac{K_I}{\sigma_Y})^2] \quad (26)$$

$$U = -[\frac{1}{2} C_{el}\left(\frac{a}{w}\right)] P^2 - h_1\left(\frac{a}{w}, \sigma_Y, n\right) P^{n+1} \quad (27)$$

حال با قرار دادن رابطه (۲۷) در روابط (۱۱)، (۱۲) و (۱۳)، هر سه قسمت مقدار انتگرال J در فولادهای مرتبه‌ای هدفمند، به وسیله روابط (۲۸)، (۲۹) و (۳۰) بدست می‌آیند.

$$J_a = -\frac{1}{B} \frac{\partial}{\partial a} \left(-\frac{1}{2} C_{el}\left(\frac{a}{w}\right) P^2 \right) \\ - h_1\left(\frac{a}{w}, \sigma_Y, n\right) P^{n+1} = \\ \frac{1}{B} \left(\frac{1}{2} \frac{\partial C_{el}\left(\frac{a}{w}\right)}{\partial a} P^2 + \frac{\partial h_1\left(\frac{a}{w}, \sigma_Y, n\right)}{\partial a} P^{n+1} \right) \quad (28)$$

$$J_{\sigma_Y} = -\frac{1}{B} \frac{\partial}{\partial \sigma_Y} \left(-\frac{1}{2} C_{el}\left(\frac{a}{w}\right) P^2 \right) \\ - h_1\left(\frac{a}{w}, \sigma_Y, n\right) P^{n+1} = \\ \frac{1}{B} \left(\frac{\partial h_1\left(\frac{a}{w}, \sigma_Y, n\right)}{\partial \sigma_Y} P^{n+1} \right) \left(\frac{\partial \sigma_Y}{\partial a} \right) \quad (29)$$

$$J_n = \left(\frac{\partial U}{\partial n} \right)_P \frac{\partial n}{\partial a} - \frac{1}{B} \frac{\partial}{\partial n} \left(-\frac{1}{2} C_{el}\left(\frac{a}{w}\right) P^2 \right) \\ - h_1\left(\frac{a}{w}, \sigma_Y, n\right) P^{n+1} = \\ \frac{1}{B} \left(\frac{\partial h_1\left(\frac{a}{w}, \sigma_Y, n\right)}{\partial n} P^{n+1} + \right. \\ \left. h_1\left(\frac{a}{w}, \sigma_Y, n\right) P^{n+1} \ln(P) \right) \left(\frac{\partial n}{\partial a} \right) \quad (30)$$

در نهایت، برای هر نمونه با طول ترک مشخص، انتگرال J از حاصل جمع روابط (۲۸)، (۲۹) و (۳۰) بدست آمده در حالی که میزان رشد ترک، Δa ، از رابطه ضریب سازگاری بدست آمده است. سپس با رسم نمودار $J - \Delta a$ ، J_{lc} بدست آمده از حل تحلیلی برای طول ترک اولیه $6/3$ میلی‌متر ($a/w = 0/35$)، رسم شده است. سایر نتایج در جدول ۴ آورده شده است.

مقایسه‌ای بین نتایج تجربی و مدل‌سازی تحلیلی چرمگی شکست در شکل ۱۳ صورت گرفته است. همان‌طور که پیدا

۹- مراجع

- [1] Gomez, F.J., Elices, M. Planas, J. The Cohesive Crack Concept Application to PMMA at -60°C. *Engng Fract Mech.*, 2005, Vol. 17, No. 12, pp. 1268-1285.
- [2] Aghazadeh Mohandes, J.; Shahosseini, M.H. "Transformation Characteristics of Functionally Graded Steels Produced By Electroslag Remelting", *Metal. Mater. Trans. A*, 2005, Vol. 36, No. 19, pp. 71-76.
- [3] ASTM E1820, *Standard Test Method for Measurement of Fracture Toughness, Annual Book of ASTM Standards, ASTM*, Philadelphia, PA; 2001, Vol. 61, No. 33, pp. 601-616.
- [4] Hopkins, R.K., Apparatus for Manufacturing Alloy ingots. *US Patent*, 1940, Vol. 18, No. 13, pp. 408-421.
- [5] Aghazadeh Mohandes, J., Shahosseini, M.H., Parastar Namin, R. Tensile Behavior of Functionally Graded Steels Produced By Electroslag Remelting. *Metal Mater Trans A*, 2006, Vol. 36, No. 21, pp. 2125-2141.
- [6] ASTM E23, *Standard Test Methods Notched Bar Impact Testing of Metallic Materials, Annual Book of ASTM Standards, ASTM*, Philadelphia, PA; 2001, Vol. 11, No. 11, pp. 108-1031.
- [7] Rice, J.R. A Path Independent Integral and The Approximate Analysis of Strain Concentration By Notches and Cracks. *J App Mech*, 1968, Vol. 35, No. 12, pp. 350-379.
- [8] Ramberg, W., Osgood, W. R.. Description of Stress-Strain Curves By Three Parameters., National Advisory Committee For Aeronautics, Ashington DC. *Technical Note*, 1943, Vol. 113, No. 53, pp. 564-584.
- [9] Jin, Z.H., Batra, R.C. Some Basic Fracture Mechanics Concepts in Functionally Graded Materials. *J Mech Physic Solids*; 1996, Vol. 11, No. 7, pp. 44-56.
- [10] Kumar, V., German, M.D., Shih, C.F., An Engineering Approach for Elastic-Plastic Fracture Analysis. *EPRI Report, Electric Power Research Institute, Palo Alto, CA*, 1931, Vol. 18, No. 14, pp. 108-141.

شده و به کمک روابط ضریب سازگاری و روابط حل نیرو محدود، برای نمونه خمث سه نقطه‌ای، انتگرال J بدست آمده است. در نهایت، با توجه به این که چرمگی شکست J_{IC} در ۰/۲ میلی‌متر رشد ترک بدست می‌آید، مقدار چرمگی شکست نمونه‌ها محاسبه شده است.

نتایج نشان می‌دهد که هر چه ترک ایجاد شده به لایه مارتزیت نزدیک‌تر باشد، چرمگی شکست کاهش شدیدتری را نشان می‌دهد. این کاهش را با افزایش تردی یا به عبارتی افزایش تنش تسلیم نوک ترک به هنگام رشد آن می‌توان توجیه کرد. در حالت‌های $a/w = 0/5$ و $a/w = 0/55$ در حالی که نوک ترک اولیه در لایه مارتزیت قرار داده شده است. اما در حالت $a/w = 0/55$ به دلیل این که ترک هر چه بیشتر رشد کند به ناحیه نرم‌تر با چرمگی بیشتر مواجه می‌شود، چرمگی شکست بیشتر می‌باشد و قابل مقایسه با مقدار آن در حالت $a/w = 0/5$ نیست.

۷- تشکر و قدردانی

در پایان از کلیه کارمندان جهاد دانشگاهی دانشگاه تهران برای انجام ذوب دوباره سرباره‌ای الکتریکی، مسئول آزمایشگاه مقاومت مصالح دانشکده مکانیک دانشگاه صنعتی امیرکبیر جناب آقای دکتر علیزاده برای انجام آزمایش شکست و دیگر دوستان و همکاران گرامی که در پیش‌برد این پژوهش یاری داده‌اند، از صمیم قلب سپاس‌گزاری می‌شود.

۸- فهرست علایم

عمق شیار و ترک خستگی (m)	a
ضخامت نمونه (m)	B
مدول یانگ (MPa)	E
(kN/m) J	J
مقدار بحرانی انتگرال J در ترک (kN/m)	J_{IC}
ضریب تمرکز تنش (kN/m)	K_I
فاز مارتزیت	M
عرض نمونه (m)	w
فاز آستنیت	γ
ضریب پواسون	ν
استحکام تسلیم ماده (MPa)	σ_y